

Таким образом, в шлифованном образце в области микротекучести разыгрываются дислокационные процессы, которые в обычных условиях охватывают первую и значительную часть второй стадии деформации [9].

Причина сильного упрочнения образцов с нарушенной поверхностью, очевидно, обусловлена специфическим самосогласованным развитием дислокационной структуры. Нарушенный слой играет двоякую роль, будучи источником дислокаций и барьером для их выхода из образца, обеспечивая протекание скольжения в стесненных условиях. Это приводит к росту внутренних напряжений и соответственно к подъему уровня внешнего напряжения, требуемого для начала макроскопического пластического сдвига.

В заключение отметим, что управление с помощью нарушенного поверхностного слоя процессом формоизменения, степенью активности нагруженных систем скольжения, величиной предела текучести, уровнем деформирующих напряжений открывает дополнительные возможности в исследовании закономерностей формирования специальных дислокационных структур, их устойчивости и взаимосвязи с параметрами деформационного упрочнения.

Авторы выражают благодарность В. Д. Нацуку, В. З. Бенгусу, Ф. Ф. Лаврентьеву, В. А. Москаленко и Л. М. Сойферу за полезные дискуссии.

#### Список литературы

- [1] Ioffe A., Kirpitschova M., Levitsky M. // Z. Phys. 1924. Bd 22. S. 286—302.
- [2] Rebindler P. // Z. Phys. 1932. Bd 72. S. 191—205.
- [3] Лихтман В. И., Щукин Е. Д., Ребиндер П. А. Физико-химическая механика металлов. М., 1962. 303 с.
- [4] Surface effects in crystal plasticity. Series E: Applied Science. N 17 / Ed. R. M. Latanision and J. T. Fourie. Noordhoff—Leyden, 1977. 944 p.
- [5] Алексин В. П. Физика прочности и пластичности поверхностных слоев материалов. М., 1983. 280 с.
- [6] Физика и технология упрочнения поверхности металлов // Тез. докл. III засед. постоянного семинара «Физико-технологические проблемы поверхности металлов». Л., 1984. 104 с.
- [7] Lubenets S. V., Ostapchuk E. I., Soifer L. M., Appel F., Kaufmann H.-J. // Cryst. Res. Technol. 1984. V. 19. N 3. P. 349—356.
- [8] Кауфманн Х.-Й., Лубенец С. В., Нацук В. Д., Пустовалов В. В., Фоменко Л. С., Шумилин С. Э. // ФНТ. 1988. Т. 14. № 6. С. 625—632.
- [9] Смирнов Б. И. Дислокационная структура и упрочнение кристаллов. Л., 1981. 236 с.

Физико-технический институт  
низких температур АН УССР  
Харьков

Поступило в Редакцию  
24 апреля 1989 г.

УДК 548.0 : 537.635

Физика твердого тела, том 31, в. 10, 1989  
Solid State Physics, vol. 31, N 10, 1989

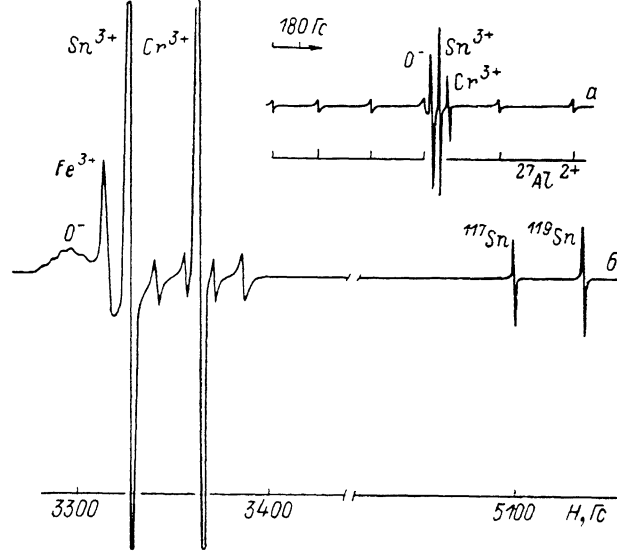
#### ЭПР РАДИАЦИОННЫХ ДЕФЕКТОВ В БЕРИЛЛЕ

В. П. Солнцев, Г. Г. Храненко

Полученная в последнее время при 300 К плавноперестраиваемая генерация стимулированного излучения [1, 2] на электронно-колебательных переходах  $\text{Cr}^{3+}$  в берилле ( $\text{Be}_3\text{Al}_2\text{Si}_6\text{O}_{18}$ ) способствовала дальнейшему исследованию других активаторов ( $\text{Ni}^{2+}$ ,  $\text{Co}^{2+}$ ) и ионов компенсаторов в этой матрице. Известно, что примесные ионы в берилле предпочтительно занимают октаэдрические позиции  $\text{Al}$  [3]. Поэтому для получения устойчивого двухвалентного состояния активаторных ионов необходима компенсация заряда.

В предлагаемой работе методом ЭПР изучены кристаллы берилла, активированные ионами Sn. Кристаллы синтезированы из стехиометрического состава на берилл методом обратного температурного перепада при температуре растворения 1100–1150 °С. Полученные образцы облучались с помощью рентгеновской трубки, работающей при 55 кВ и 18 мА в течение 1–3 ч при 77 К, или  $\gamma$ -лучами ( $^{60}\text{Co}$ , 1–5 Мрад, 77 К). Спектры ЭПР исследовались на частоте 9.3 ГГц при 300 и 77 К.

До облучения в кристаллах наблюдались слабые спектры ЭПР ионов  $\text{Cr}^{3+}$  и  $\text{Fe}^{3+}$  (неконтролируемые примеси). После облучения образцов интенсивность спектров  $\text{Cr}^{3+}$  и  $\text{Fe}^{3+}$  заметно уменьшилась и появились три новых центра ЭПР (см. рисунок). Многокомпонентный спектр с  $g_c = -2.0143$  отождествлен с «дыркой» на кислороде ( $\text{O}_\parallel^-$ ), захваченной вблизи  $\text{Al}^{3+}$ , занимающего позицию  $\text{Si}^{4+}$  ( $\text{O}_\parallel^-$ ; см. таблицу) [3]. Шестикомпонент-



Спектры ЭПР в  $\gamma$ -облученном берилле ( $H \parallel c$ ).

*a* — при 77 К, *b* — при 300 К после предварительного нагревания образца до 50 °С.

ный спектр с  $A_c = 391$  Э обусловлен  $\text{Al}^{2+}$  в позиции  $\text{Be}^{2+}$  [3]. Центр, представленный интенсивной линией аксиальной симметрии ( $g_\parallel = 1.9993$ ) и двумя сателлитными линиями при 5160 и 5200 Гц, отождествлен с ионом  $\text{Sn}^{3+}$  в октаэдрической позиции Al. Угловая зависимость сателлитных линий подобна таковой для центральной, а отношение интенсивности их к основной составляло соответственно 3.8 и 4.3 %. Последнее соответствовало половине отношения содержания  $^{117}\text{Sn}$ ,  $^{119}\text{Sn}$  к содержанию четных изотопов. Естественная распространенность  $^{117}\text{Sn} = 7.67\%$ ,  $^{119}\text{Sn} = 8.68\%$ . Учитывая это, сателлитные линии можно было объяснить сверхтонким взаимодействием неспаренного  $5s^1$  электрона  $\text{Sn}^{3+}$  с ядерными моментами  $^{117}\text{Sn}$  и  $^{119}\text{Sn}$ . Спектр центра описывался спиновым гамильтонианом аксиальной симметрии с  $S=1/2$  и  $I_1=1/2$  (7.67 %),  $I_2=-1/2$  (8.68 %).

Так как константа СТВ для свободного иона  $\text{Sn}^{3+}$  ( $^{119}A = 43.92$  ГГц [4]) значительно больше микроволновой частоты наблюдения (9.3 ГГц), то разрешенными будут только высокополевые переходы —  $|F=1, m_f=0\rangle \rightarrow |F=1, m_f=-1\rangle$  и  $|F=1, m_f=1\rangle \rightarrow |F=1, m_f=0\rangle$ . Даже в случае ромбических  $g$ - и  $A$ -тензоров спиновый гамильтониан можно было точно диагонализировать вдоль главных осей [5]. Константы СТВ для  $\text{Sn}^{3+}$  в берилле были рассчитаны при помощи формул

$$A_\parallel = \frac{(2h\nu)(h\nu - g_\parallel \beta H_1) + 1/2(A_\parallel^2 + A_\perp^2)}{g_\parallel \beta H_1 - 2h\nu},$$

$$A_{\perp} = \frac{(2\hbar\nu)(\hbar\nu - g_{\perp}\beta H_1) + \{^{1/2}A_{\perp}^2 - ^{-1/2}[^{1/2}(A_{\parallel} + A_{\perp})]^2\}}{g_{\perp}\beta H_1 - 2\hbar\nu},$$

полученных [6] для перехода  $|F=1, m_f=0\rangle \rightarrow |F=1, m_f=-1\rangle$ . Второй высокополевой переход  $|F=1, m_f=1\rangle \rightarrow |F=1, m_f=0\rangle$  ожидался в полях  $\sim 10$  кГс и не наблюдался, так как был за пределами экспериментального наблюдения. Параметры спектра представлены в таблице.

Параметры спектров ЭПР в облученных бериллах при 77 К

Центр	$K_m$	$g$ -тензор $\pm 0.0005$	Направление главных значений $g$ -тензора		СТВ $\pm 0.5$ э
			$\theta^\circ$	$\gamma^\circ$	
Al <sup>2+</sup>	3	$g_z = 2.0000$	90	0	$^{27}A_z = 433.1$
		$g_y = 1.9991$	90	90	$^{27}A_y = 393.7$
		$g_x = 1.9962$	0		$^{27}A_x = 391.4$
		$g_c = 2.0143$	0		$^{27}A_c^I = 7.02$
O <sub>II</sub> <sup>-</sup>	12	$g_a = 2.0123$	90	0	$^{27}A_c^{II} = 5.85$
		$g_b = 2.0119$	90	90	$^{9}A_c = 2.14$
Sn <sup>3+</sup>	1	$g_i = 1.9993$	0		$^{117}A_{II} = 7630.3$
		$g_{\perp} = 1.9924$	90		$^{119}A_{II} = 7977.4$
					$^{117}A_{\perp} = 7393.7$
					$^{119}A_{\perp} = 7729.2$

Анализ изотропного и анизотропного вкладов СТВ показывает, что неспаренный электрон в основном находится на гибридной  $sp^n$ -орбитали  $Sn^{3+}$  ( $C_s^2 = A_{\text{эзо}}/A_{\text{изо}}^{\text{cb}} = 0.317$ ,  $C_p^2 = b/b^{\text{cb}} = 0.499$ ), тогда как для Al<sup>2+</sup> в тетраэдрическом окружении в берилле соответствующие вклады равны  $C_s^2 = 0.291$  и  $C_p^2 = 0.456$ . Это согласуется с ожидаемым более ковалентным характером связи в комплексе  $AlO_4$  по сравнению со  $SnO_6$ . Однако наблюдаемый  $\Delta g$ -сдвиг  $\Delta g_{\perp} = g_{\perp} - 2.0023 = -0.01$  не мог быть объяснен только вкладами  $5p$ -орбиталей Sn, так как для  $5p^1$ -электрона  $\lambda = 2835$  см<sup>-1</sup> [7] и при  $\delta \sim 50\,000$  см<sup>-1</sup>  $\Delta g_{\perp} = 2\lambda\beta^2/\delta = -0.05$ , что значительно больше, чем экспериментально наблюдаемый  $\Delta g$ -сдвиг. Для объяснения этого факта, очевидно, необходимо учитывать небольшую примесь  $4d^9$ -электронов Sn в волновую функцию, приводящих к положительному вкладу в  $g$ -фактор.

Проведенное исследование температурной зависимости центров показало, что при нагревании до 30–50 °C центр Al<sup>2+</sup> практически исчез, уменьшилась интенсивность O<sup>-</sup> (в 2 раза) и Sn<sup>3+</sup> (в 1.5 раза), тогда как интенсивность Cr<sup>3+</sup> и Fe<sup>3+</sup> слегка возросла. Повышение температуры до 100–120 °C привело к отжигу O<sup>-</sup> и уменьшению интенсивности Sn<sup>3+</sup> (в 2 раза). Дальнейшее повышение температуры нагрева образца до 260 °C привело к отжигу центров Sn<sup>3+</sup> и уменьшению интенсивности Cr<sup>3+</sup> и Fe<sup>3+</sup> (в 1.5–2 раза) до первоначальной величины (до облучения).

Таким образом, учитывая вышесказанное, можно предположить, что ионы Sn замещают в берилле октаэдрические позиции Al<sup>3+</sup> в состоянии Sn<sup>4+</sup>. Компенсация избыточного заряда осуществляется как сверхстехиометрическими ионами Al<sup>3+</sup>, занимающими позиции Si<sup>4+</sup>, так и двухвалентными ионами Mg<sup>2+</sup> в октаэдрических позициях Al<sup>3+</sup>.

#### Список литературы

- [1] Shand M. L., Walling J. C. // IEEE J. 1982. V. QE-18. P. 1829–1830.
- [2] Гулев В. С., Елисеев А. П., Солицев В. П., Храненко Г. Г., Юркин А. М. // Квант. электр. 1987. Т. 14. № 10. С. 1990–1992.
- [3] Солицев В. П. // Проблемы теоретической и генетической минералогии. Новосибирск: Наука, 1981. С. 92–140.

- [4] Morton J. R., Preston K. F. // J. Magnetic Res. 1978. V. 30. N 3. P. 577—582.  
 [5] Andlauer B., Schneider I., Tolksdorf W. // Phys. Rev. 1973. V. 8. N 1. P. 1—5.  
 [6] Kolopus J. L., Finch C. B., Abraham M. M. // Phys. Rev. 1970. N 6. P. 2040—2045.  
 [7] Steen F. V., Schoemoker D. // Phys. Rev. 1979. V. B19. N 1. P. 55—71.

Институт геологии и геофизики СО АН СССР  
Новосибирск

Поступило в Редакцию  
26 апреля 1989 г.

УДК 538.945 : 535.343

Физика твердого тела, том 31, в. 10, 1989  
Solid State Physics, vol. 31, N 10, 1989

## ИССЛЕДОВАНИЕ ВЫСОКОТЕМПЕРАТУРНЫХ СВЕРХПРОВОДЯЩИХ КЕРАМИК И ТОНКИХ ПЛЕНОК СИСТЕМЫ Tl—Ba—Ca—Cu—O

O. B. Косогов, A. И. Акимов, M. B. Белоусов, C. B. Богачев,  
B. Ю. Давыдов, B. A. Ильин, C. Ф. Карманенко, A. Л. Карпей,  
O. B. Корнякова, B. H. Макаров, L. P. Получанкина

Данная работа посвящена исследованию спектров комбинационного рассеяния света (КРС), СВЧ поглощения, структуры, состава керамических и тонкопленочных образцов высокотемпературных сверхпроводников (ВТСП) системы Tl—Ba—Ca—Cu—O, в которой после недавнего обнаружения ВТСП [1] достигнута пока рекордная критическая температура [2, 3].

Керамические образцы приготавливались методом твердофазного синтеза смеси порошков  $Tl_2O_3$ ,  $CaCO_3$ ,  $BaCO_3$ ,  $CuO$  [4]. Тонкие пленки толщиной  $\sim 0.5$  мкм получены магнетронным распылением керамических мишней на подогретые до  $500$ — $600$  °C подложки из  $Al_2O_3$ ,  $ZrO_2$ ,  $MgO$  с последующим отжигом в атмосфере кислорода.

Для проведения рентгеноспектрального микроанализа (установка «Самебах», разрешение  $\sim 1$  мкм) были отобраны образцы с различ-

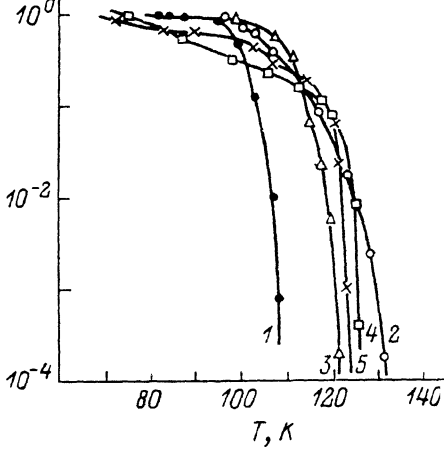


Рис. 1. Температурные зависимости низкочастотного СВЧ сигнала ВТСП керамики (1—3) и тонких пленок (4, 5) Tl—Ba—Ca—Cu—O.

ными температурами перехода к сверхпроводимости  $T_{c0}$  ( $R=0$  на постоянном токе): 107 (№ 1), 120 (№ 2) и 125 K (№ 3). Установлено, что все образцы являются многофазными. Содержание катионов в соседних точках несколько варьируется, однако усреднение выявляет вполне определенную картину. У образца № 1 преобладает состав  $Tl_1Ba_2Ca_{0.9}Cu_{2.1}O_y$  ( $Tl : Ba : Ca : Cu = 1 : 2 : 1 : 2$ ), № 2 —  $Tl_{0.81}Ba_{1.21}Ca_{1.23}Cu_{2.31}O_y$  ( $1 : 5 : 4 : 7$ ), № 3 —  $Tl_{0.49}Ba_{1.13}Ca_{1.03}Cu_{2.62}O_y$  ( $1 : 2 : 2 : 4$ ). Как видим, увеличение относительного содержания кальция и меди по отношению к таллию и барнию ( $(Ca + Cu)/(Tl + Ba) \approx 1$  для № 1 и  $(Ca + Cu)/(Tl + Ba) \approx 2$  для № 2, 3) ведет к увеличению  $T_c$ .

Для выявления возможного присутствия в исследуемых образцах более высокотемпературных сверхпроводящих фаз измерялись темпера-